

13. Сейдж Э., Меле Дж. Теория оценивания и ее приложения в связи и в управлении. — М.: Связь, 1976.
14. Корн Г., Корн Т. Справочник по математике для научных работников и инженеров. — М.: Наука, 1974.
15. Kulr R. W. An optimum sampling procedure for the use with Prony's method // IEEE Trans. on Electromagnet. Compatibility. — 1981. — EMC-23, N 2.

Поступила в редакцию 7 января 1987 г.

УДК 681.3

П. И. БАЛАБАНОВ, В. Д. ФИЛЕВ

(София, Болгария)

ЧАСТОТНО-ИЗБИРАТЕЛЬНЫЙ МЕТОД ИЗМЕРЕНИЯ НАПРЯЖЕНИЯ С ИСПОЛЬЗОВАНИЕМ ДИСКРЕТНОГО ПРЕОБРАЗОВАНИЯ ФУРЬЕ

В ряде случаев возникает необходимость измерения амплитуды $A_u(f_x)$ сложного переменного сигнала $u(t)$, соответствующей конкретной частоте f_x . Для решения таких задач, являющихся по существу, частотно-избирательным методом измерения напряжения, можно использовать метод дискретного преобразования Фурье (ДПФ).

В математическом смысле задача сводится к определению оценки значения функции $|F_u(f)|$ для $f = f_x$, где

$$F_u(f) = \int_0^{\infty} u(t) e^{-j2\pi ft} dt. \quad (1)$$

При использовании ДПФ математической моделью процедуры частотно-избирательного измерения напряжения может служить выражение

$$A_u(f_k)_д = \left| [N \cdot F_g(0)]^{-1} \sum_{i=0}^{N-1} u(i) g(i) W^{ik} \right|. \quad (2)$$

где $\{g(i)\}_{i=0, \dots, N-1}$ — временной ряд, изображающий использованную функцию окна в дискретном виде; $|F_g(0)| = |F_g(f)|_{f=0} = \mathcal{F}[g(t)]$; \mathcal{F} — оператор преобразования Фурье; N — число членов рядов $\{u(i)\}$ и $\{g(i)\}$, определяющее размерность ДПФ.

Если задано такое k , при котором $f_k = kf_0$, и удовлетворено условие $|f_k - f_x| = \min$, то в этом случае $A_u(f_k)_д$ является оценкой неизвестной амплитуды $A_u(f_x)$.

Можно доказать, что с использованием требуемых программных и технических средств относительная погрешность измерения γ определяется главным образом погрешностью $\gamma_{T_д}$ вследствие ограничений $u(t)$ во времени при помощи функции окна, т. е. справедливо

$$\gamma = \gamma_{T_д} \leq \left| A_u(f_x) F_g(0) \right|^{-1} \left[\left| \int_0^{f_x - \varepsilon} F_u(f) F_g(f_k - f) df + \int_{f_x + \varepsilon}^{f_T} F_u(f) F_g(f_k - f) df \right| \right] + \left| F_g(f_k - f_x) F_g(0)^{-1} - 1 \right|, \quad (3)$$

где ε — бесконечно малая величина.

Из (3) следует, что погрешность γ может быть представлена двумя составляющими: $\gamma_{T_д}$, обусловленной наличием других частотных компонент $A_u(f_i)$ с частотами f_i в спектре напряжения $u(t)$, и $\gamma_{T_д}''$ — по-

грешностью, вызванной паразитной амплитудной модуляцией для $f_h \neq f_x$.

Значение γ'_{T_d} убывает с увеличением N , а значение γ''_{T_d} зависит не от N , а от типа окна $g(t)$ и может быть представлено выражением

$$\gamma''_{T_d} = [|F_g(f_h - f_x) F_g(0)^{-1}| - 1]. \quad (4)$$

Максимальное значение $\gamma_{T_d \max}$ получается при условии $|f_h - f_x| = f_0/2$ и для различных функций $g(t)$ изменяется в границах от 9,2 (для минимального четырехчленного окна Блекмана — Харриса) до 36,3 % (для окна Дирихле) [1]. Очевидно, что такие большие значения погрешности γ''_{T_d} нежелательны.

Условие $\gamma''_{T_d} = 0$ можно обеспечить выполнением измерительной процедуры для оценки амплитуды $A_u(f_x)$, математическую модель которой представим в виде

$$A_u(f_x)_d = [|F_g(f_h - f_x) | N^{-1}] \sum_{i=0}^{N-1} u(i) g(i) W^{ik}, \quad (5)$$

где $f_h = kf_0$; $|f_h - f_x| < f_0/2$.

Из (5) следует, что алгоритм метода частотно-избирательного измерения напряжения включает следующие этапы [2]:

напряжение $u(t)$ дискретизируется во времени и по уровню, при котором получается временной ряд $\{u(i)\}_{i=0 \div N-1}$;

каждое значение $u(i)$ домножается на соответствующее значение $g(i)$ временного ряда $\{g(t)\}_{i=0 \div N-1}$, и в результате получается ряд $\{u'(i)\}_{i=0 \div N-1}$;

находится номер k -й гармоники с частотой f_k , при которой $|f_h - f_x| = \min$ из выражения

$$k' = f_x/f_0 = k \pm k'', \quad (6)$$

где k — результат округления k' до ближайшего целого числа; $k'' = |k' - k|$;

определяется амплитуда $A_u(f_k)_d$ в соответствии с выражением

$$A_u(f_k)_d = \left| \frac{1}{N} \sum_{i=0}^{N-1} u(i) W^{ik} \right|; \quad (7)$$

вычисляется $A_u(f_x)_d$:

$$A_u(f_x)_d = A_u(f_k)_d |F_g(f_h - f_x)|^{-1}. \quad (8)$$

Для окна Гауса (8) представляется в виде

$$A_u(f_x)_d = A_u(f_k)_d |F_d(k'')|^{-1}. \quad (9)$$

Выражения (5), равно как и (8), и (9), получаются с учетом следующих соображений. Очевидно, что умножение временных рядов $\{u(i)\}$ и $\{g(i)\}$ означает, что во временной области производится перемножение функций $u(t)$ и $g(t)$. Следовательно, через ДПФ преобразуется не функция $u(t)$, а $u'(t) = u(t)g(t)$, соответствующая временному ряду $\{u'(i)\}$. По теореме свертки

$$A_u(f_h)_d = \left| \int_0^{\infty} F_u(f) F_g(f_h - f) df \right|. \quad (10)$$

Если предположить, что $F_g(f_h - f) = 0$ для $|f_h - f| > 2f_0$, то (10) можно привести в виде

$$A_u(f_h)_d = \left| \int_{f_h - f_0}^{f_h + f_0} F_u(f) F_g(f_h - f) df \right|. \quad (11)$$

Если интервал $2f_0$ настолько узок, что в нем $F_u(f)$ аппроксимируется δ -функцией, т. е. через

$$F_u(f) = A_u(f_x) \delta(f - f_x), \quad (12)$$

то с учетом (12) из (11) получим

$$A_u(f_k)_д = A_u(f_x) |F_g(f_k - f_x)|. \quad (13)$$

Следовательно, для $A_u(f_x)$ можно записать

$$A_u(f_x) = A_u(f_k)_д |F_g(f_k - f_x)|^{-1} = A_u(f_k)_д K_{F_g}^{-1}, \quad (14)$$

что находится в полном соответствии с (7).

Проклятый условия, для которых получено (14) не выполняются

На основании интеграла свертки можно доказать, что для γ_{T_d} справедливо выражение

$$\gamma_{T_d} \leq \frac{\left| \int_0^{f_x - \varepsilon} F_u(f) F_g(f_k + f) df + \int_{f_x - \varepsilon}^{f_T} F_u(f) F_g(f_k - f) df \right|}{A_u(f_x) K_{F_g}}. \quad (16)$$

Следовательно, составляющая обусловленная паразитной амплитудной модуляцией, отсутствует, т. е. $\gamma_{T_d} = 0$, и для погрешности можно записать

$$\gamma = \gamma'_{T_d} + \gamma_{K_{F_g}}. \quad (17)$$

Погрешность $\gamma_{K_{F_g}}$ связана с неточным вычислением K_{F_g} , обусловленным погрешностью задания частоты дискретизации f_d сигнала $u(t)$ и неполной или неточной информацией о значении f_x измеряемого сигнала.

При использовании окна Гана в целях дискретного преобразования Фурье оценка $\gamma_{K_{F_g}}$ может быть получена из выражения

$$\gamma_{K_{F_g}} \leq K \cdot 0,666 \dots \left[\frac{\Delta f_d}{f_d} + \frac{\Delta f_x}{f_x} \right] = K \cdot 0,666 [\gamma_{f_d} + \gamma_{f_x}], \quad (18)$$

где γ_{f_d} и γ_{f_x} — относительные погрешности $\Delta f_d/f_d$ и $\Delta f_x/f_x$ соответственно.

При $f_d = \text{const}$ из (18) следует, что $\gamma_{K_{F_g}}$ увеличивается с ростом K (соответственно N). Очевидно, что погрешность $\gamma_{K_{F_g}}$ ограничивает частотный диапазон измерения.

Предположим, что сигнал $u(t)$ имеет дискретный спектр вида

$$F_u(f) = \sum_{i=0}^{N/2} A_u(f_i) \delta(f - f_i). \quad (19)$$

В таком случае для погрешности γ'_{T_d} можно записать выражение

$$\gamma'_{T_d} \leq \frac{\sum_{i=0, i \neq k}^{N-1} A_u(f_i) |F_g(f_k - f_i)|}{A_u(f_x) |F_g(f_k - f_x)|}. \quad (20)$$

Следовательно, погрешность уменьшается с увеличением N . Так как $\gamma_{K_{F_g}}$ увеличивается, а γ'_{T_d} уменьшается с ростом N , то для определенного оптимального значения $N = N_{\text{опт}}$ общая погрешность примет минимальное значение. При подходящем выборе аппаратурных и программных средств для реализации метода частотно-избирательного измерения напряжения с предварительно известной частотой и $\gamma''_{T_d} = 0$ можно обеспечить высокую точность измерения.

Предложенный метод нашел конкретное применение для контроля частот и уровней кодирующих сигналов телефонных аппаратов с частотным выбором номера.

При нажатии любой кнопки телефонной клавиатуры вырабатывается сигнал, который представляет собой сложное переменное во времени напряжение

$$u(t) = A_{n_i} \sin(2\pi f_{n_i} t + \varphi_{n_i}) + A_{v_j} \sin(2\pi f_{v_j} t + \varphi_{v_j}) + \alpha(t), \quad (21)$$

где $\alpha(t)$ — функция, характеризующая наличие нелинейных искажений; A_{n_i} и A_{v_j} — амплитуды кодирующих сигналов ($i, j = 1-4$). Каждый символ, буква или цифра (см. таблицу) кодируются в соответствии с рекомендациями [3], аналогичными стандартам, используемым и в других странах. В таблице показаны номинальные значения кодирующих частот; допустимые отклонения не должны превышать $\pm 1,8\%$. Уровни сигналов H_{n_i} и H_{v_j} ограничены диапазонами $(-6 \pm 2) dB$ для H_{n_i} и $(-3 \pm 2) dB$ для H_{v_j} .

Частоты, Гц	$f_{v_1}=1209$	$f_{v_2}=1336$	$f_{v_3}=1477$	$f_{v_4}=1633$
$f_{n_1} = 697$	1	2	3	A
$f_{n_2} = 770$	4	5	6	B
$f_{n_3} = 852$	7	8	9	C
$f_{n_4} = 941$	*	0	#	D

В соответствии с (7) уровни двух кодирующих сигналов можно определить реализацией следующего алгоритма:

напряжение $u(t)$ (21) дискретизируется во времени и по уровню, при котором получается ряд $\{u(i)\}_{i=0 \div N-1}$;

каждое значение $u(i)$ доумножается на соответствующее значение ряда $g(i)$, в результате чего получается ряд $\{u'(i)\}_{i=0 \div N-1}$;

производится фильтрация двух кодирующих сигналов, после чего их периоды преобразуются в коды и определяются частоты f_{n_i} и f_{v_j} ;

производится ДПФ для $\{u'(i)\}$ в соответствии с выражениями

$$A(f_{k_n})_д = \frac{1}{N} \sum_{i=0}^{N-1} u'(i) W^{ik_n} \quad (22)$$

$$\text{и} \quad A(f_{k_v})_д = \frac{1}{N} \sum_{i=0}^{N-1} u'(i) W^{ik_v} \quad (23)$$

и находятся амплитуды A_{k_n} и A_{k_v} гармонических составляющих с частотами f_{k_n} и f_{k_v} и номерами k_n и k_v , определенные посредством выражений

$$k'_n = \frac{f_{n_i}}{f_0} = k_n \pm k''_n \quad (24)$$

$$\text{и} \quad k'_v = \frac{f_{v_j}}{f_0} = k_v \pm k''_v. \quad (25)$$

Номера k_n и k_v получены округлением k'_n и k'_v до ближайшего целого числа. Через k''_n и k''_v обозначены погрешности округления. При этих условиях выполнены неравенства

$$|f_{k_n} - f_{n_i}| \leq f_0/2; \quad |f_{k_v} - f_{v_j}| \leq f_0/2.$$

Если для $g(t)$ справедливо равенство

$$g(t) = 0,5 - 0,5 \cos(2\pi t/T_д), \quad (26)$$

которое соответствует окну Гана, то для $F_g(f)$ получим выражение

$$F_g(f) = \frac{1}{2} \frac{\sin(\pi f T_d)}{\pi f T_d} \frac{1}{1 - (f T_d)^2}, \quad (27)$$

для которого справедливы соотношения

$$F_g(f_{h_n} - f_{n_i}) = F_g(k_n'') = k_{F_{g_n}} \quad (28)$$

и

$$F_g(f_{h_b} - f_{b_j}) = F_g(k_b'') = K_{F_{g_b}}. \quad (29)$$

Амплитуды кодирующих сигналов отыскиваются в соответствии с выражениями

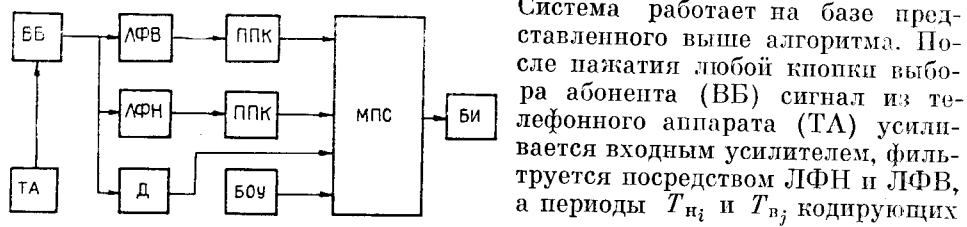
$$A(f_{n_i})_d = A(f_{h_n})_d K_{F_{g_n}}^{-1} \quad (30)$$

и

$$A(f_{b_j})_d = A(f_{h_b})_d K_{F_{g_b}}^{-1}. \quad (31)$$

Уровни H_{n_i} и H_{b_j} определяются через полученные значения $A(f_{n_i})_d$ и $A(f_{b_j})_d$.

На рисунке показана блок-схема микропроцессорной измерительной системы (МПС) для автоматизированного контроля частот и уровней кодирующих сигналов телефонных аппаратов с частотным выбором номера.



Система работает на базе представленного выше алгоритма. После нажатия любой кнопки выбора абонента (ББ) сигнал из телефонного аппарата (ТА) усиливается входным усилителем, фильтруется посредством ЛФН и ЛФВ, а периоды T_{n_i} и T_{b_j} кодирующих сигналов преобразуются в коды. В начале преобразования преобразователи период — код (ППК) вырабатывают два сигнала, которые воздействуют на микропроцессорную систему так, что начинается дискретизация $u(t)$ посредством дискретизатора (Д). После окончания этих процессов в оперативной памяти системы запоминаются численные значения периодов T_{n_i} и T_{b_j} и значение временного ряда $\{u(i)\}_{i=0 \rightarrow N-1}$. Микропроцессорная система производит математические операции, указанные в алгоритме. Осуществляется проверка о соответствии измеренных параметров заданным границам, а результаты измерения и контроля определяются посредством блока индикации (БИ).

СПИСОК ЛИТЕРАТУРЫ

1. Хэррис Ф. Дж. Использование окон при гармоническом анализе методом дискретного преобразования Фурье // ТИИЭР.— 1978.— 66, № 1.
2. А. с. 35137 Болгария. Метод и устройство за селективно измерване на напрежение с предварително известна честота/В. Д. Филев, П. И. Балабанов.— Оpubл. 09.12.82.
3. БДС 3725—80. Апарати телефонни.

Поступила в редакцию 8 октября 1986 г.